

مدیریت تراکم انتقال در بازارهای رقابتی برق بر اساس برنامه‌ریزی مجدد بارهای وقفه‌پذیر توأم با تولید کنندگان و بررسی نحوه تخصیص هزینه در انواع بازارهای برق

محمدموسی تبریزیان^۱، حسین سیفی^{۲*}، محمدکاظم شیخ‌الاسلامی^۳

۱- دانشجوی دکترای برق- قدرت، دانشکده مهندسی برق و کامپیوتر، دانشگاه تربیت مدرس

۲- استاد گروه برق- قدرت، دانشکده مهندسی برق و کامپیوتر، دانشگاه تربیت مدرس

۳- استادیار گروه برق- قدرت، دانشکده مهندسی برق و کامپیوتر، دانشگاه تربیت مدرس

Seifi_ho@modares.ac.ir

(دریافت مقاله: اردیبهشت ۱۳۸۸، پذیرش مقاله: مهر ۱۳۸۹)

چکیده- حرکت سیستم‌های قدرت به سوی فضاهای جدید اقتصادی و مدیریتی، امروز فصل جدیدی را در بهره‌برداری از این سیستم‌ها گشوده است. یکی از مهمترین پیامدهای این حرکت، استفاده عادلانه تمامی متقاضیان از شبکه انتقال، یعنی دسترسی آزاد است. دسترسی آزاد به شبکه انتقال متناسبن تحقق رقابتی سالم در تبادل است، اما بدليل امکان ایجاد تراکم در شبکه انتقال، ممکن است خود به مشکل اصلی در سیستم‌های جدید تبدیل شود. امروز مطالعات گسترده‌ای در راستای پیشگیری، کاهش و کنترل فنی و اقتصادی این پدیده انجام می‌شود که مدیریت تراکم نام دارد و بسته به روش‌های به کار رفته برای تجدید ساختار، روش‌های اجرای آن بسیار متنوع است. در این مقاله، پس از بررسی موضوع تراکم انتقال، مدل کامل تری (نسبت به مقالات قبلی) برای مدیریت ایستای کوتاه‌مدت تراکم ارائه خواهد شد. مبنای روش پیشنهادی، برنامه‌ریزی (دیسپچ) مجدد میزان توان‌های حقیقی و راکتیو در شین‌های حساس شبکه بر اساس تعیین ضرایب توزیع (حساسیت) تراکم AC و دسته‌بندی شین‌های شبکه انتقال بر پایه این ضرایب حساسیت و سپس دیسپچ مجدد بارهای وقفه‌پذیر (قابل برنامه‌ریزی) توأم با ژنراتورها و منابع راکتیو است. در ادامه، روش پیشنهادی برای یکی از شبکه‌های استاندارد، آزمایش شده و در آن تحلیل هزینه بر طرف سازی تراکم و بررسی نحوه تخصیص آن، همراه با در نظر گرفتن ضرایب تعدیل هزینه تغییر بارها متناسب با ضرایب توزیع تراکم در دو نوع بازار شامل «پرداخت مطابق پیشنهاد» (PAB^۱) و «قیمتگذاری یکنواخت» (UPR^۲) بررسی شده است که نتایج عددی، کارامدی روش پیشنهادی را نشان می‌دهد.

کلیدواژگان: سیستم‌های قدرت تجدیدساختار شده، انتقال انرژی، بازار برق، تحلیل حساسیت، مدیریت تراکم، بارهای وقفه‌پذیر، تخصیص هزینه تراکم.

1. Pay As Bid
2. Uniform Pricing

می‌تواند از عقد قراردادهای جدید جلوگیری کرده و به افزایش خاموشی و افزایش بهای برق در برخی مناطق منجر شود و نیز ممکن است امنیت^۶ و قابلیت اطمینان^۷ سیستم را به خطر اندازد [۲].

مدیریت تراکم خطوط انتقال به عنوان یکی از وظایف کلیدی بهره‌بردار مستقل سیستم^۸ (ISO)، فرایندی است که استفاده از شبکه انتقال را در محدوده‌های مجاز بهره‌برداری تضمین می‌کند. در سیستم‌های تجدید ساختار شده، هدف اصلی مدیریت تراکم، تدوین مجموعه‌ای از قوانین و رویه‌هایی است که تضمین‌کننده کنترل کافی بر روی تولیدکنندگان و مصرفکنندگان، برای حفظ سطح قابل قبولی از ایمنی و قابلیت اطمینان سیستم قدرت همراه با بیشترین بازدهی اقتصادی بازار در زمان محدودیت شبکه انتقال باشد و بتواند نشانه‌های اقتصادی کافی را نیز برای رشد سیستم در دراز مدت فراهم سازد [۳].

مسئله مدیریت تراکم انتقال در سیستم‌های تجدید ساختار شده گذشته‌ای طولانی ندارد و بیشتر در دو دهه اخیر به عنوان موضوعی خاص مورد تحقیق قرار گرفته و بررسی‌ها و تحقیقات انجام شده در این زمینه بسیار متعدد است. بر اساس بررسی منابع موجود، به طور کلی روش‌های اصلی مدیریت تراکم مبتنی بر بازار برق^۹ را می‌توان بهطور خلاصه به صورت زیر تقسیم‌بندی کرد:

- الف- روش‌های مبتنی بر ضرایب حساسیت^{۱۰} [۴] تا [۸]
- ب- روش‌های مبتنی بر حراج^{۱۱} [۹] تا [۱۴]
- پ- روش‌های مبتنی بر قیمت‌گذاری^{۱۲} [۱۵] تا [۲۴]

6. Security

7. Reliability

8. Independent System Operator

9. Market-Based Congestion Management

10. Sensitivity Factors Based Methods

11. Auction Based Methods

12. Pricing Based Methods

۱- مقدمه

محدودیت انتقال توان در خطوط انتقال یا تنگناهای انتقال^۱ همواره گریبان‌گیر بهره‌برداران سیستم‌های قدرت بوده است. از آنجا که محل رخداد این تنگناها در سیستم‌های قدرت سنتی مشخص بود و مقدار حدی آن در دوره معینی بسته به میزان بار ثابت می‌ماند، راه حل این تنگناها در سیستم‌های سنتی، افزایش خطوط انتقال یا اضافه کردن ظرفیت نصب شده در شبکه انتقال بود. محدودیت‌های خطوط که موجب تراکم در خطوط انتقال^۲ شده سبب می‌شود ایمنی حالت مانای شبکه به خطر افتاد که در این صورت، به تنظیم خروجی ژنراتورها یا سایر روش‌های کاهش تراکم با کمترین هزینه ممکن، نیاز است.

با مطرح شدن دسترسی آزاد^۳ به شبکه انتقال در سیستم‌های قدرت تجدید ساختار شده^۴، موضوع تراکم خطوط انتقال شدیدتر و پیچیده‌تر شده و رخداد آن از حالت معین و ثابت در سیستم‌های سنتی به وضعیتی نامعین، غیردقیق، خطرپذیر و گاهی در مکانهایی از پیش تعیین‌نشده، تغییر یافته است. در شرایط جدید، بهره‌بردار شبکه برای کاهش تراکم خطوط با محدودیت‌های بسیاری نسبت به گذشته روبرو بوده و این به پیدایش روش‌های نوین و متفاوت مدیریت تراکم^۵ انجامیده است [۱].

با توجه به محدودیت‌های ساخت خطوط انتقال جدید و افزایش چشمگیر تبادل توان در بازارهای رقابتی برق، حفظ امنیت سیستم به یکی از دغدغه‌های اصلی فعالان بازار و بهره‌برداران سیستم تبدیل شده است. تراکم انتقال

1. Transmission Bottleneck

2. Transmission Congestion

3. Open Access

4. Restructured Power Systems

5. Congestion Management

تراکم اکتیو و راکتیو - و سپس مدل ریاضی مسائله و جزئیات روش پیشنهادی آورده شده است. سپس نتایج شبیه‌سازی شبکه نمونه ۳۹ شینه نیوانگلند^۷ در دو قسمت مکمل (بخش‌های (الف) و (ب)) ارائه و تحلیل شده و نحوه تخصیص هزینه کاهش تراکم در دو بازار *PAB* و *UPR* بررسی شده است.

۲- روش پیشنهادی

۱-۱- برنامه ریزی (دیسپچ) مجدد تبادل مبنی بر ضرایب حساسیت

در روش مورد مطالعه، از ضرایب توزیع تراکم انتقال (*TCDF*)^۸، در تعیین مناطق (مجموعه شینهای) مؤثر بر تراکم در سیستم استفاده و چنین فرض می‌شود که کل سیستم تحت مدیریتی واحد یعنی بازار برق از نوع متتمرکز است اگر چه نواحی مختلف ممکن است به‌طور جداگانه عمل کنند.

در این روش، مدیریت ایستای کوتاه‌مدت تراکم بر اساس دیسپچ مجدد تبادل یا همان تجدید آرایش تولید یا مصرف توانهای حقیقی و راکتیو پیشنهاد شده است. مناطق مختلف شبکه، بر اساس ضرایب حساسیت - که به آن عوامل توزیع تراکم گفته می‌شود - تقسیم‌بندی شده و دو دسته شاخص حساسیت، به نام ضریب توزیع تراکم انتقال اکتیو (*PTCDF*)^۹ و ضریب توزیع تراکم انتقال راکتیو (*QTCDF*)^{۱۰} در نظر گرفته می‌شود. این ضرایب از روی عناصر ماتریس ژاکوبی و نتایج پخش بار در ساعت مورد نظر برای هریک از خطوط انتقال قابل

ت- روشهای مبنی بر دیسپچ مجدد و تمایل به پرداخت^۱ [۲۵] تا [۳۲]

از بین این روشهای از روشهای دسته (پ) و دسته (ت) برای مدیریت تراکم در شرایط مقررات زدایی شده و محیط بازار بیشتر استفاده شده است. اساس روشهای دسته (پ)، کنترل سیگنال‌های قیمت بوده و اساس روشهای دسته (ت)، تنظیم انتقال (یا دیسپچ مجدد تبادل^۲) است که در این مقاله، ترکیب آن با روشهای دسته (الف) یعنی ضرایب حساسیت مورد توجه است. در مقاله قبلی نویسندها[۳۴]، برنامه‌ریزی (دیسپچ) مجدد توانهای حقیقی و راکتیو تولیدکننده‌های برگریده بر مبنای ضرایب توزیع تراکم (ضرایب حساسیت) *AC* تحلیل و در آن بازار برق به صورت ترکیبی^۳ مدل‌سازی شده و محدودیت وجود قراردادهای قطعی (ثابت) انتقال (از نوع فیزیکی یا *PTR*^۴) نیز در نظر گرفته شده بود.

نوآوری اصلی این مقاله کاربرد دیسپچ مجدد مصرف‌کننده‌های بزرگ و قله‌پذیر^۵ (قابل برنامه‌ریزی) یا بارهای پاسخگو^۶ به صورت توأم با تولیدکننده‌ها (ژنراتورها) و برای هر دو نوع توان اکتیو و راکتیو، تحلیل هزینه کاهش تراکم و بررسی نحوه تخصیص آن، در نظر گرفتن ضرایب تغییر هزینه برای دیسپچ مجدد بارها متناسب با ضرایب توزیع (حساسیت) تراکم و مقایسه دو نوع بازار برق (*PAB, UPR*) در تحلیل هزینه حاصل از مدیریت تراکم بر طبق روش مورد مطالعه است.

در این مقاله، نخست کلیات روش مورد مطالعه - شامل دیسپچ مجدد تبادل بر اساس ضرایب *AC* توزیع

1. Re-dispatch and Willingness to Pay Methods

2. Transaction Re-dispatch.

3. Hybrid

4. Physical Transmission Right

5. Interruptible Loads

6. Responsible Loads

7. New England

8. Transmission Congestion Distribution Factors

9. Active Power Transmission Congestion Distribution Factors

10. Reactive Power Transmission Congestion Distribution Factors

$$\Delta P = [J_{11}][\Delta \delta] \quad (6)$$

$$\Delta Q = [J_{22}][\Delta \delta] \quad (7)$$

و با استفاده از تقریب سری تیلور و ساده‌سازی روابط، داریم:

(8)

$$\begin{aligned} \Delta P_{ij} &= PTCDF_1^k \Delta P_1 + PTCDF_2^k \Delta P_2 \\ &+ \dots + PTCDF_n^k \Delta P_n \end{aligned} \quad (9)$$

$$\begin{aligned} \Delta Q_{ij} &= QTCDF_1^k \Delta Q_1 + QTCDF_2^k \Delta Q_2 \\ &+ \dots + QTCDF_n^k \Delta Q_n \end{aligned}$$

بنابراین ضرایب AC توزیع تراکم توان‌های حقیقی و راکتیو، از روی عناصر ماتریس ژاکوبی و نتایج پخش بار در ساعت مورد نظر برای هر یک از خطوط انتقال قابل محاسبه است [۶] که تعیین این ضرایب بر اساس مدل خطی بالا، پخش مقدماتی و پیشنباز مسئله اصلی بهینه‌سازی است.

باید توجه کرد که کاربرد این روش، فقط در محیط‌های تجدید ساختار شده و بازارهای برق رقابتی پیشنهاد می‌گردد و مزیت روش مورد مطالعه (مبنی بر تحلیل حساسیت) نسبت به روش‌های عادی پخش بار بهینه (OPF)^۱ در کاهش نقض قراردادها و انحراف کمتر از برنامه بازار است. به این ترتیب با استفاده از تحلیل حساسیت، تعداد شرکت‌کنندگان در شرایط تراکم انتقال، بسیار کمتر از تعداد کل شرکت‌کنندگان فعال در بازار است تا سطح رقابت شرکت‌کنندگان بازار برق در حد امکان، حفظ شود و چندان تنزل نیابد.

محاسبه است و سپس ژنراتورها، منابع توان راکتیو و مصرف‌کننده‌های واقع در نقاط حساس‌تر با ضرایب توزیع شدید و غیریکنواخت، شاخص حساسیت برای دیسپچ مجدد توان در نظر گرفته می‌شوند.

ضرایب AC توزیع تراکم خط k واقع بین شین‌های i و j ناشی از تغییر در توان‌های تزریقی حقیقی و راکتیو در شین دلخواه m با رابطه زیر توصیف می‌شود:

$$PTCDF_m^k = \frac{\Delta P_{ij}}{\Delta P_m} \quad (1)$$

$$QTCDF_m^k = \frac{\Delta Q_{ij}}{\Delta Q_m} \quad (2)$$

با استفاده از تقریب سری تیلور، روابط تغییر توان‌های راکتیو و راکتیو در خطوط انتقال را می‌توان چنین نوشت:

$$\Delta P_{ij} = \frac{\partial P_{ij}}{\partial \delta_i} \Delta \delta_i + \frac{\partial P_{ij}}{\partial \delta_j} \Delta \delta_j + \frac{\partial P_{ij}}{\partial V_i} \Delta V_i + \frac{\partial P_{ij}}{\partial V_j} \Delta V_j \quad (3)$$

$$\Delta Q_{ij} = \frac{\partial Q_{ij}}{\partial \delta_i} \Delta \delta_i + \frac{\partial Q_{ij}}{\partial \delta_j} \Delta \delta_j + \frac{\partial Q_{ij}}{\partial V_i} \Delta V_i + \frac{\partial Q_{ij}}{\partial V_j} \Delta V_j \quad (4)$$

برای تعیین ضرایب حساسیت AC رابطه ژاکوبی زیر به کار می‌رود:

$$\begin{bmatrix} \Delta P \\ \Delta Q \end{bmatrix} = [J] \begin{bmatrix} \Delta \delta \\ \Delta V \end{bmatrix} = \begin{bmatrix} J_{11} & J_{12} \\ J_{21} & J_{22} \end{bmatrix} \begin{bmatrix} \Delta \delta \\ \Delta V \end{bmatrix} \quad (5)$$

با صرفنظر کردن از ارتباط توان حقیقی با اندازه ولتاژ و ارتباط توان راکتیو با زاویه ولتاژ، رابطه (۵) چنین نوشتہ می‌شود:

ث) فرض می‌شود که فقط شرکت‌کنندگانی از بازار توسط ISO برای دیسپچ مجدد در نظر گرفته شده‌اند که علاوه بر تأثیر قابل توجه از نظر حساسیت بر شرایط تراکم، قبلاً برای این منظور اعلام آمادگی کرده (یعنی جزو شرکت کنندگان در بازار تنظیم^{۱۳} بوده) و توسط ISO مناسب تشخیص داده شده باشند.^[۳۰] همچنین ISO باید هزینه‌های اضافی مرتبط با دیسپچ مجدد را به شرکت‌کنندگان مربوطه پرداخت و به نحو مناسب جبران کند.

ج) بازار به صورت کاملاً رقابتی و بدون حضور شرایط غیررقابتی یا وجود قدرت بازار^{۱۴} فرض می‌شود.تابع هدف موردنظر، کمینه سازی هزینه حاصل از اعمال مدیریت تراکم در شبکه انتقال با در نظر گرفتن قیود پخش بهینه بار با استفاده از دیسپچ مجدد ژنراتورها و منابع راکتیو و بارهای واقع در شین‌های برگزیده شبکه است. نحوه فرمولیندی، تمایز با شکل معمول مسئله پخش بار بهینه بوده و بر تحلیل حساسیت مبنی است. مدل ریاضی مسئله بهینه سازی غیرخطی دیسپچ مجدد تبادل با هدف مدیریت تراکم به صورت زیر بیان می‌شود.

۱-۲-۲ تابع هدف

تابع هدف مسئله، یعنی کمینه سازی هزینه تغییر تولید حقیقی و راکتیو ژنراتورهای مربوط، هزینه تولید راکتیو منابع مورد نظر به علاوه هزینه تغییر توان حقیقی و راکتیو مصرف‌کننده‌های مربوط با رابطه زیر بیان می‌شود:

$$\begin{aligned} \text{Minimize} & \sum_g^{NG} C_{pg}(\Delta P_g) \Delta P_g + \sum_g^{NG} C_{qg}(\Delta Q_g) \Delta Q_g \\ & + \sum_c^{NC} C_c(\Delta Q_c) \Delta Q_c \\ & + \sum_d^{ND} C_{pd}(\Delta P_d) \Delta P_d + \sum_d^{ND} C_{qd}(\Delta Q_d) \Delta Q_d \end{aligned} \quad (10)$$

- 13. Regulation Market
- 14. Market Power

۲-۲ تعریف مسئله بهینه سازی دیسپچ مجدد توان در روش پیشنهادی

فرضیه‌ای عمومی در روش پیشنهادی به شرح زیر است:
الف) بازار انرژی به صورت متمرکز^۱ و پیشو^۲ در نظر گرفته شده؛ معمولاً بازار روز-بعد^۳ فرض شده و بنابراین مدیریت تراکم از نوع داخلی^۴ و کوتاه‌مدت^۵ است.

ب) مدل بازار به صورت حوضچه‌ای^۶ فرض شده است.
پ) عناصر اصلی فرض شده برای بازار برق عبارتند از: بهره‌بردار مستقل سیستم (با فرض داشتن اختیار کافی)^۷، شرکت‌های تولیدی^۸، شرکت‌های انتقال^۹ و شرکت‌های توزیع^{۱۰} یا مصرف‌کنندگان بزرگ^{۱۱}. سایر عناصر فرعی بازار ممکن است حضور داشته اما در مسئله مدیریت تراکم به طور مستقیم و صریح در نظر گرفته نمی‌شوند.
ت) بازه زمانی مورد نظر در روش پیشنهادی کوتاه‌مدت است که به وسیله ISO پس از دریافت تمامی پیشنهادهای عرضه یا تقاضا^{۱۲} تا قبل از اجرای برنامه بازار در نظر گرفته شده و حل مسئله مدیریت تراکم معمولاً^{۱۳} باید به صورت ساعت به ساعت برای برنامه روز آینده در نظر گرفته شود. فرمان‌های صادر شده به وسیله ISO نیز باید تا قبل از اجرای بازار با هماهنگی شرکت‌کنندگان مربوط نهایی شده و در صورت نبود توافق مناسب، ISO باید محدودیت‌های اضافی پیش‌آمده را در مدل مسئله در نظر بگیرد یا در صورت لزوم شرکت‌کنندگان دیگری را نیز برای دیسپچ مجدد در نظر بگیرد.

1. Centralized
2. Forward Market
3. Day-Ahead
4. Internal
5. Short Term
6. Pool
7. MaxISO
8. Genco
9. Transco
10. Distco
11. Large Consumers
12. Offers & Bids

$$\Delta P_d^{\min} \leq \Delta P_d \leq \Delta P_d^{\max} \quad d = 1, 2, \dots, N_d \quad (14)$$

$$\Delta Q_c^{\min} \leq \Delta Q_c \leq \Delta Q_c^{\max} \quad c = 1, 2, \dots, N_c \quad (15)$$

$$\Delta Q_d^{\min} \leq \Delta Q_d \leq \Delta Q_d^{\max} \quad d = 1, 2, \dots, N_d \quad (16)$$

$$V_i^{\cdot} - V_i^{\min} \leq \Delta V_i \leq V_i^{\max} - V_i^{\cdot} \quad i = 1, 2, \dots, N_b \quad (17)$$

$$\sum_g^{N_g} \Delta P_g - \sum_g^{N_g} \frac{\partial P_L}{\partial P_g} \Delta P_g - \sum_g^{N_g} \frac{\partial P_L}{\partial Q_g} \Delta Q_g - \sum_c^{N_c} \frac{\partial P_L}{\partial Q_c} \Delta Q_c \quad (18)$$

$$-\sum_d^{N_d} \Delta P_d + \sum_d^{N_d} \frac{\partial P_L}{\partial P_d} \Delta P_d + \sum_d^{N_d} \frac{\partial P_L}{\partial Q_d} \Delta Q_d = . \quad (19)$$

$$\sum_g^{N_g} \Delta Q_g - \sum_g^{N_g} \frac{\partial Q_L}{\partial P_g} \Delta P_g - \sum_g^{N_g} \frac{\partial Q_L}{\partial Q_g} \Delta Q_g - \sum_c^{N_c} \frac{\partial Q_L}{\partial Q_c} \Delta Q_c = . \quad (20)$$

در شبیه‌سازی مسئله، عبارت‌های مشتق تلفات توان حقیقی و مشتق تلفات توان راکتیو در کل خطوط انتقال نسبت به توان تزریقی حقیقی یا راکتیو در هر شین دلخواه m - که در قیود تعادل توان‌های حقیقی و راکتیو کل شبکه (معادلات ۱۸ و ۱۹) به کار می‌رود - به شکلی ابتکاری با استفاده از مشتقان جزئی زنجیری بربط روابط ذیل (معادلات ۲۰ تا ۲۳) محاسبه شده که در آن، مشتق کل تلفات توان حقیقی شبکه از جمع کردن مشتق تلفات حقیقی هر یک از خطوط، به دست آمده و در محاسبه مشتق تلفات حقیقی هر خط به شکل زنجیری، ابتدا مشتق تلفات حقیقی خط نسبت به زوایای ولتاژ شین‌های دو طرف خط و سپس مشتق زوایای ولتاژ شین‌های دو طرف خط نسبت به توان تزریقی حقیقی در باس دلخواه m در نظر گرفته می‌شود. هم‌چنین در محاسبه مشتق

که در آن، عبارت اول یعنی هزینه تولید توان حقیقی ژنراتورها، همان قیمت پیشنهادی پذیرفته شده برای ژنراتور است و نحوه پرداخت هزینه به ژنراتورها توسط ISO می‌تواند بسته به سازوکار بازار، مطابق قیمت پیشنهادی برنده شده (PAB) یا بر شکل قیمت‌گذاری یکنواخت (UPR) باشد. عبارت دوم در تابع هدف، هزینه فرصت (یا هزینه ثابت) متناظر با توان راکتیو تولیدی توسط ژنراتورها است. عبارت سوم شامل هزینه معادل برای بازگشت سرمایه اولیه منابع توان راکتیو نصب شده در شبکه و مورد استفاده توسط ISO برای دیسپچ مجدد توان راکتیو برای مدیریت تراکم است [۳۴]. عبارت‌های چهارم و پنجم به ترتیب هزینه دیسپچ مجدد توان‌های حقیقی و راکتیو مصرفی بارها را نشان می‌دهد.

۲-۲-۲ قیود (محدودیت‌ها)

روابط (۱۱) تا (۱۹) زیر به ترتیب قیدهای مربوط به ظرفیت مجاز بارگذاری خطوط انتقال، حدود ظرفیت توان حقیقی و راکتیو ژنراتورهای در نظر گرفته شده، حدود ظرفیت منابع راکتیو مربوط، حدود تغییرات مجاز توان‌های حقیقی و راکتیو بارهای برگزیده و قیدهای مربوط به تغییر ولتاژ و تعادل توان در شین‌های شبکه است:

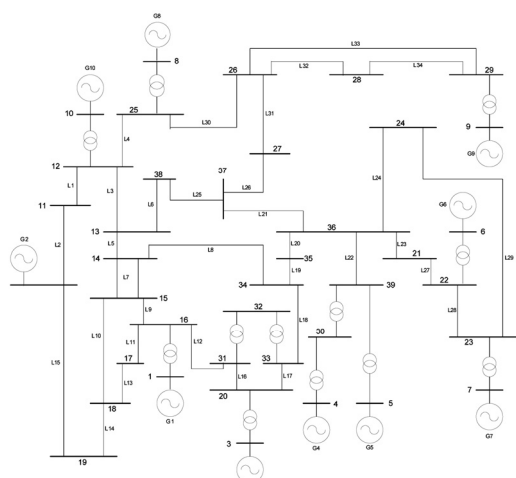
(۱۱)

$$(P_{ij} + \sum_g^{N_g} PTCDF_g^k * \Delta P_g + \sum_d^{N_d} PTCDF_d^k * \Delta P_d)^r + \\ (Q_{ij} + \sum_g^{N_g} QTCDF_g^k * \Delta Q_g + \sum_c^{N_c} QTCDF_c^k * \Delta Q_c \\ + \sum_d^{N_d} QTCDF_d^k * \Delta Q_d)^r \leq (S_{ij}^{\max})^r \quad ij \in N_l$$

$$\Delta P_g^{\min} \leq \Delta P_g \leq \Delta P_g^{\max} \quad g = 1, 2, \dots, N_g \quad (12)$$

$$\Delta Q_g^{\min} \leq \Delta Q_g \leq \Delta Q_g^{\max} \quad g = 1, 2, \dots, N_g \quad (13)$$

گمز^۲ بر اساس دیسپچ مجدد توان در شین‌های منتخب بر مبنای ضرایب توزیع تراکم حقیقی و راکتیو (PTCDF, QTCDF) شبیه‌سازی شده است. ابتدا با استفاده از نرم‌افزار متلب، بخش مقدماتی مسئله یعنی محاسبه پخش بار و تعیین ضرایب توزیع تراکم انجام و سپس با استفاده از نرم‌افزار گمز نسخه (۲۱/۶) توسط CONOPT_Solver مدل ریاضی بهینه‌سازی دیسپچ مجدد، به‌شکل یک مسئله برنامه‌ریزی غیرخطی گستته (DNLP)^۳ حل شده است. مطالعات موردی و شبیه‌سازی‌ها در دو قسمت مکمل در، بخش (الف) (بند ۳-۱) و بخش (ب) (بند ۳-۲) آورده شده است.



شکل ۱ نمودار تک-خطی شبکه ۳۹ شینه نیوانگلند

۱-۳ بخش (الف)

در این بخش، علاوه بر دیسپچ مجدد تولید ژنراتورها و منابع راکتیو شبکه، امکان در نظر گرفتن تجدید آرایش و دیسپچ مجدد بارهای (صرف‌کننده‌های) اصلی شبکه به شکل مجزا یا توأم، به ویژه برای بارهای قابل برنامه‌ریزی

تلفات راکتیو هر خط به شکل زنجیری، نخست مشتق تلفات راکتیو خط نسبت به اندازه‌های ولتاژ شین‌های دو طرف خط و سپس مشتق اندازه‌های ولتاژ شین‌های دو طرف خط نسبت به توان تزریقی راکتیو در باس دلخواه m در نظر گرفته می‌شود:

$$\frac{\partial P_{loss}}{\partial P_m} = \sum_{k=1}^{nl} \frac{\partial P_{loss_k}}{\partial P_m} = \sum_{k=1}^{nl} \left(\frac{\partial P_{loss_k}}{\partial \delta_i} \cdot \frac{\partial \delta_i}{\partial p_m} \right) + \sum_{k=1}^{nl} \left(\frac{\partial P_{loss_k}}{\partial \delta_j} \cdot \frac{\partial \delta_j}{\partial P_m} \right) \quad (20)$$

$$\frac{\partial P_{loss}}{\partial q_m} = \sum_{k=1}^{nl} \frac{\partial P_{loss_k}}{\partial q_m} = \sum_{k=1}^{nl} \left(\frac{\partial P_{loss_k}}{\partial |V_i|} \cdot \frac{\partial |V_i|}{\partial q_m} \right) + \sum_{k=1}^{nl} \left(\frac{\partial P_{loss_k}}{\partial |V_j|} \cdot \frac{\partial |V_j|}{\partial q_m} \right) \quad (21)$$

$$\frac{\partial Q_{loss}}{\partial P_m} = \sum_{k=1}^{nl} \frac{\partial Q_{loss_k}}{\partial P_m} = \sum_{k=1}^{nl} \left(\frac{\partial Q_{loss_k}}{\partial \delta_i} \cdot \frac{\partial \delta_i}{\partial p_m} \right) + \sum_{k=1}^{nl} \left(\frac{\partial Q_{loss_k}}{\partial \delta_j} \cdot \frac{\partial \delta_j}{\partial P_m} \right) \quad (22)$$

$$\frac{\partial Q_{loss}}{\partial q_m} = \sum_{k=1}^{nl} \frac{\partial Q_{loss_k}}{\partial q_m} = \sum_{k=1}^{nl} \left(\frac{\partial Q_{loss_k}}{\partial |V_i|} \cdot \frac{\partial |V_i|}{\partial q_m} \right) + \sum_{k=1}^{nl} \left(\frac{\partial Q_{loss_k}}{\partial |V_j|} \cdot \frac{\partial |V_j|}{\partial q_m} \right) \quad (23)$$

۳- شبیه‌سازی و تحلیل نتایج

با توجه به فرضیهای در روش پیشنهادی (بخش ۲-۲) بازار از نوع روز-بعد و مدل آن حوضچه‌ای در نظر گرفته شده و مدیریت ایستای کوتاه‌مدت تراکم داخلی برای ساعتهاي خاص وقوع تراکم (معمولًا در زمان اوچ بار) در نظر گرفته شده و فرض شده که شرکت‌کنندگان برگزیده از تحلیل حساسیت در شرایط رقابتی و بدون تبعیض، قابلیت دیسپچ مجدد توان و همکاری با ISO برای کاهش تراکم انتقال را دارند. حالتهای مختلف مدیریت تراکم روی شبکه نمونه ۳۹ شینه نیوانگلند - که نمودار تک خطی آن در شکل (۱) و اطلاعات آن در [۳۳] آورده شده - با استفاده از نرم‌افزارهای متلب^۱ و

2. GAMS

3. Discrete Non Linear Programming.

1. Matlab

با فرض وقوع تراکم در خط شماره ۸ (بین شین‌های ۱۴ و ۳۶) در شبکه ۳۹ شینه نیوانگلند با اضافه باری غیرمجاز برابر $5/359$ مگاولت آمپر، حالت‌های مختلف شبیه‌سازی شده در جدول (۱) ارائه شده و ضرایب توزیع تراکم (ضرایب حساسیت) توان‌های حقیقی و راکتیو برای خط شماره ۸ در شکل‌های (۲) و (۳) مشاهده می‌شود. برای خط مفروض، بار اولیه خط (قبل از دیسچ مجدد) برطبق نتایج محاسبات پخش بار برابر $252/359$ مگاولت آمپر و در شبیه‌سازی انجام شده، ظرفیت مجاز بارگذاری این خط برابر 247 مگاولت آمپر در نظر گرفته شده است. خلاصه نتایج مهم شبیه‌سازی شامل میزان تغییر توان در هر یک از شین‌ها و هزینه کاهش تراکم و تغییر بارگذاری خط انتقال متراکم در جدول (۲) و شکل (۴) ارائه شده است. توان عبوری از خط متراکم پس از دیسچ مجدد، به دو طریق هم خروجی برنامه بهینه‌سازی (مبتنی بر ضرایب حساسیت) و هم با محاسبات جداگانه پخش بار در جدول (۲) نشان داده شده و همان‌طور که دیده می‌شود پس از دیسچ مجدد، تراکم خط مربوط برطرف شده و توان عبوری از آن به حد مجاز رسیده است. لازم است ذکر شود که مقدار توان عبوری محاسبه شده بر اساس برنامه پخش بار - که با نتیجه برنامه بهینه‌سازی (بر اساس ضرایب حساسیت) تفاوتی جزئی دارد - دقیق‌تر است. صحت نتایج به دست آمده، با بررسی مراحل اجرای برنامه و مشاهده اطلاعات خروجی^۴ مربوط در نرم‌افزار گمز و هم‌چنین با استفاده از محاسبات جداگانه پخش بار و تحلیل منطقی نتایج نیز قابل تأیید است.

4. List file

(وقفه‌پذیر) برای مدیریت تراکم بر اساس روش پیشنهادی، در حالتهای مختلف مطابق جدول (۱) مدل‌سازی و تحلیل شده است.

فرضیات ویژه در شبیه‌سازی بخش (الف) عبارتند از:
الف- ژنراتورهای برگزیده با تحلیل حساسیت توسط ISO در هر دو حالت افزایش یا کاهش توان خروجی، هزینه‌ای معادل میزان تغییر توان (نسبت به ظرفیت برنده شده در بازار) را برطبق قیمت پیشنهادی خود (یعنی به صورت PAB) دریافت می‌کنند.

ب- بارهای وقفه‌پذیر منتخب، به اندازه 10% قابلیت دیسچ مجدد (افزایش یا کاهش توان مصرفی) برای کاهش تراکم شبکه انتقال دارند.

پ- قیمت ساعتی برق (قیمت تسویه بازار MCP)^۱ ثابت و برابر $\$/MWh$ فرض شده است.

ت- در صورت کاهش بار حقیقی مصرف‌کننده، خسارت قراردادشده‌ای برابر $30\%/\$MWh$ (۰.۱۵۰) برق) توسط ISO پرداخت می‌شود.

ث- در صورت افزایش بار حقیقی مصرف‌کننده، هزینه قراردادشده‌ای برابر $10\%/\$MWh$ (۰.۱۰) قیمت برق) توسط ISO دریافت می‌شود.

ج- هزینه بار مصرفی راکتیو (در صورت تغییر) برابر 10% هزینه بار حقیقی فرض شده است.

چ- ضرایب توان^۲ مصرف‌کنندگان در محدوده بزرگتر از $0/86$ (پس‌فاز^۳) فرض شده و در صورت دیسچ مجدد توان‌های حقیقی و راکتیو بارها، این محدوده رعایت می‌شود.

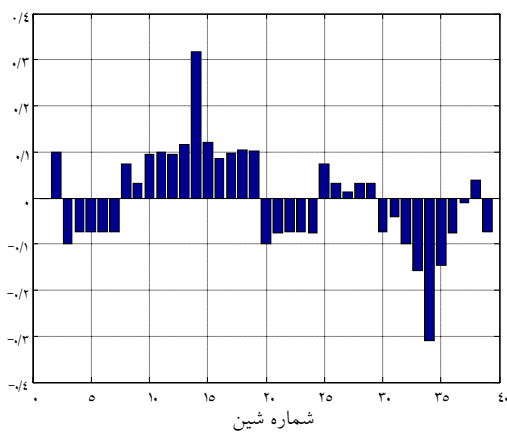
1. Market Clearing Price

2. Power Factor

3. Lag

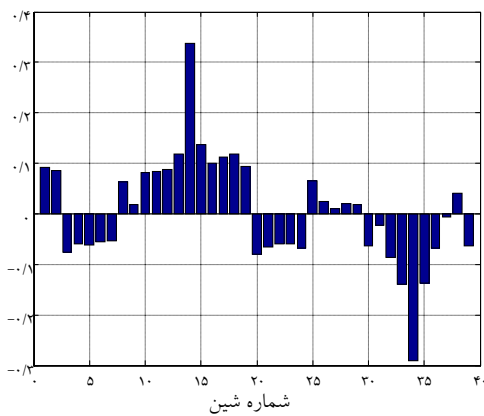
به همین ترتیب در حالت سوم نیز که بدون منبع راکتیو خارجی، علاوه بر توان تولیدی حقیقی، توان راکتیو ژنراتورهای برگزیده نیز دیسپچ مجدد شده، باز هم کاهش هزینه مدیریت تراکم به مقدار $747/836$ دلار به چشم می‌خورد. در حالت چهارم که تلفیق دو حالت دوم و سوم است - یعنی علاوه بر دیسپچ مجدد توان راکتیو ژنراتورها از یک منبع خارجی راکتیو نیز استفاده شده - کاهش بیشتری در هزینه حاصل (رسیدن به مقدار $647/779$ دلار) مشاهده می‌شود. این، تأثیر مثبت و البته محدود دیسپچ مجدد توان راکتیو را در مدیریت کاهش تراکم نشان می‌دهد؛ به ویژه در حالتی که علاوه بر ژنراتورها از سایر منابع توان راکتیو نیز بهره گرفته شود. البته طبیعی است که تأثیر دیسپچ مجدد توان راکتیو از نظر کاهش هزینه کاهش تراکم، کمتر از دیسپچ مجدد توان حقیقی بوده زیرا هزینه متناظر با توان راکتیو بسیار کمتر از هزینه توان حقیقی است.

در حالت پنجم به جای تولیدکننده‌ها از بارهای وقفه‌پذیر برای کاهش تراکم استفاده شده و دیسپچ مجدد توان حقیقی برای بارهای برگزیده از تحلیل حساسیت (شامل شین‌های ۱۴ و ۲۷ و ۳۵) انجام شده که هزینه حاصل برابر $537/094$ دلار به دست آمده که کمتر از حالتهای قبلی است. بنابراین در صورت بستن قراردادهایی مناسب با مصرف‌کنندگان - که در بحث پاسخگویی بار (DR)^۱ مطرح می‌شود - دیسپچ مجدد بارها روش کم‌هزینه‌تری نسبت به تولیدکننده‌ها است. در حالت ششم که علاوه بر توان حقیقی، توان راکتیو بارهای مورد نظر نیز دیسپچ مجدد شده، کاهش هزینه بیشتری نسبت به حالت قبل دیده می‌شود و از $537/094$ به $264/388$ دلار رسیده است.



شکل ۲ ضرایب توزیع تراکم (ضرایب حساسیت) توان حقیقی برای خط شماره ۸ در شبکه نمونه مورد مطالعه

همان‌گونه که در جدول (۲) و شکل (۴) دیده می‌شود در حالت اوّل مورد مطالعه که دیسپچ مجدد ژنراتورهای برگزیده از تحلیل حساسیت (شامل شین‌های ۳ و ۸ و ۱۰) فقط برای توان حقیقی صورت گرفته، هزینه ساعتی حاصل برابر $1547/882$ دلار به دست آمده است.



شکل ۳ ضرایب توزیع تراکم (ضرایب حساسیت) توان راکتیو برای خط شماره ۸ در شبکه نمونه مورد مطالعه

در حالت دوم که یک منبع توان راکتیو در شین شماره (۱۴) برای دیسپچ مجدد توان راکتیو افزوده شده هزینه حاصل به $780/050$ دلار کاهش یافته است.

1. Demand Response

جدول ۱ توصیف حالت‌های مختلف شیوه‌سازی پخش (الف) در شبکه نمونه ۳۹ شینه نیو انگلند

| شیوه سازی | حالات های | مطالعات مورده |
|-----------|---|---|
| ۱ | دیسپچ مجدد ژنراتورهای برگزیده از تحلیل حساسیت (شین های ۳ و ۱۰) - فقط توان حقیقی | دیسپچ مجدد ژنراتورهای برگزیده از تحلیل حساسیت (شین های ۳ و ۱۰) - فقط توان حقیقی |
| ۲ | دیسپچ مجدد ژنراتورهای برگزیده از تحلیل حساسیت (شین های ۳ و ۱۰) (فقط توان حقیقی) به علاوه منبع توان راکتیو در شین ۱۴ | دیسپچ مجدد ژنراتورهای برگزیده از تحلیل حساسیت (شین های ۳ و ۱۰) (فقط توان حقیقی) به علاوه منبع توان راکتیو در شین ۱۴ |
| ۳ | دیسپچ مجدد ژنراتورهای برگزیده از تحلیل حساسیت (شین های ۳ و ۱۰) - توانهای حقیقی و راکتیو | دیسپچ مجدد ژنراتورهای برگزیده از تحلیل حساسیت (شین های ۳ و ۱۰) - توانهای حقیقی و راکتیو |
| ۴ | دیسپچ مجدد ژنراتورهای برگزیده از تحلیل حساسیت (شین های ۳ و ۱۰) (توانهای حقیقی و راکتیو) به علاوه منبع توان راکتیو در شین ۱۴ | دیسپچ مجدد ژنراتورهای برگزیده از تحلیل حساسیت (شین های ۳ و ۱۰) (توانهای حقیقی و راکتیو) به علاوه منبع توان راکتیو در شین ۱۴ |
| ۵ | دیسپچ مجلد بارهای برگزیده از تحلیل حساسیت (شین های ۱۴ و ۳۵ و ۲۷) - فقط توان حقیقی | دیسپچ مجلد بارهای برگزیده از تحلیل حساسیت (شین های ۱۴ و ۳۵ و ۲۷) - فقط توان حقیقی |
| ۶ | دیسپچ مجلد بارهای برگزیده از تحلیل حساسیت (شین های ۱۴ و ۳۵ و ۲۷) - توانهای حقیقی و راکتیو | دیسپچ مجلد بارهای برگزیده از تحلیل حساسیت (شین های ۱۴ و ۳۵ و ۲۷) - توانهای حقیقی و راکتیو |
| ۷ | دیسپچ مجلد ژنراتورهای برگزیده از تحلیل حساسیت (شین های ۳ و ۸) و بارهای برگزیده از تحلیل حساسیت (شین های ۱۴ و ۳۵) - فقط توان حقیقی | دیسپچ مجلد ژنراتورهای برگزیده از تحلیل حساسیت (شین های ۳ و ۸) و بارهای برگزیده از تحلیل حساسیت (شین های ۱۴ و ۳۵) - فقط توان حقیقی |
| ۸ | حالت هفتم با در نظر گرفتن متغیرهای بیشتر: شین های ژنراتوری ۳ و ۱۰ و شین های بار ۱۴ و ۲۷ و ۳۲ و ۳۵ | حالت هفتم با در نظر گرفتن متغیرهای بیشتر: شین های ژنراتوری ۳ و ۱۰ و شین های بار ۱۴ و ۲۷ و ۳۲ و ۳۵ |
| ۹ | حالت هفتم با اضافه کردن یک منبع توان راکتیو در شین شماره ۱۴ | حالت هفتم با اضافه کردن یک منبع توان راکتیو در شین شماره ۱۴ |
| ۱۰ | دیسپچ مجلد ژنراتورهای برگزیده از تحلیل حساسیت (شین های ۳ و ۸) و بارهای برگزیده از تحلیل حساسیت (شین های ۱۴ و ۳۵) - توانهای حقیقی و راکتیو | دیسپچ مجلد ژنراتورهای برگزیده از تحلیل حساسیت (شین های ۳ و ۸) و بارهای برگزیده از تحلیل حساسیت (شین های ۱۴ و ۳۵) - توانهای حقیقی و راکتیو |
| ۱۱ | حالت دهم با در نظر گرفتن متغیرهای بیشتر: شین های ژنراتوری ۳ و ۱۰ و شین های بار ۱۴ و ۲۷ و ۳۲ و ۳۵ | حالت دهم با در نظر گرفتن متغیرهای بیشتر: شین های ژنراتوری ۳ و ۱۰ و شین های بار ۱۴ و ۲۷ و ۳۲ و ۳۵ |

جدول ۲ خلاصه نتایج شبیه‌سازی بخش (الف) در شبکه ۳۹ شینه نیوانگلند

| ردیف | نام محله موزونی | $\Delta(P_g)$ Bus#3 (MW) | $\Delta(Q_g)$ Bus#3 (MVAr) | $\Delta(P_g)$ Bus#8 (MW) | $\Delta(Q_g)$ Bus#8 (MVAr) | $\Delta(P_g)$ Bus#10 (MW) | $\Delta(Q_g)$ Bus#10 (MVAr) | $\Delta(P_d)$ Bus#14 (MW) | $\Delta(Q_d)$ Bus#14 (MVAr) | $\Delta(P_d)$ Bus#14 (MW) | $\Delta(Q_d)$ Bus#14 (MVAr) | $\Delta(P_d)$ Bus#27 (MW) | $\Delta(Q_d)$ Bus#27 (MVAr) | $\Delta(P_d)$ Bus#32 (MW) | $\Delta(Q_d)$ Bus#32 (MVAr) | $\Delta(P_d)$ Bus#35 (MW) | $\Delta(Q_d)$ Bus#35 (MVAr) | |
|------|--------------------|--------------------------|----------------------------|--------------------------|----------------------------|---------------------------|-----------------------------|---------------------------|-----------------------------|---------------------------|-----------------------------|---------------------------|-----------------------------|---------------------------|-----------------------------|---------------------------|-----------------------------|---------|
| ۱ | -۳۴.۹۶۶ | | | ۳۳.۷۴۵ | | -۰.۹۸۸ | | | -۰.۷۰۴ | | | | | | | | ۱۵۲۷.۸۸۷ | |
| ۲ | -۳۱.۵۱۸ | | ۹.۹۸۰ | ۱۰.۱۰۹ | | | | -۰.۷۰۴ | | | | | | | | ۷۸۰.۰۵۰ | ۲۲۷.۰۰۰ | |
| ۳ | -۳۰.۷۸۲ | ۱۰.۹۸۷ | ۹.۰۵۱ | -۴.۶۱۳ | ۱۰.۳۱۶ | -۰.۳۰۱ | | | -۰.۷۰۴ | | | | | | | ۷۴۷.۸۳۶ | ۲۲۷.۰۰۰ | |
| ۴ | -۲۷.۹۳۳ | ۱۰.۹۷۲ | ۸.۹۰۰ | ۵.۳۳۲ | ۱۰.۹۰۸ | ۳.۹۰۰ | | | -۰.۷۰۴ | | | | | | | ۶۴۷.۷۷۶ | ۲۲۷.۰۰۰ | |
| ۵ | | | | | | | -۰.۱۶۲ | | -۰.۳۹۵ | | | | | | ۲۷.۷۶۴ | ۵۳۷.۰۴۲ | ۲۲۷.۰۰۰ | |
| ۶ | | | | | | | -۱۲.۷۰۰ | * | * | * | | | | | ۱۰.۲۶۵ | -۰.۴۴۶ | ۲۶۴.۲۸۸ | ۲۲۷.۰۰۰ |
| ۷ | -۳.۰۵۷ | ۶.۵۰۳ | | | | -۹.۰۸۳ | | | | | | | | | ۱۷۰.۵۳۱ | ۲۲۷.۰۰۰ | ۲۲۶.۸۶۹ | |
| ۸ | -۰.۸۳۹ | ۲.۷۷۲ | ۹.۰۵۴ | | -۰.۹۶۱ | | | * | | ۱.۵۰۰ | | ۱۱.۳۰۸ | ۱۰.۴۸۶۳ | | ۲۲۷.۰۰۰ | ۲۲۶.۶۴۷ | | |
| ۹ | ۹.۰۹۹ | | ۱۷.۴۰۵ | | | -۳.۵۰۳ | | ۶۷۱۸۶ | | | | | ۲۸.۱۱۴ | ۱۴.۷۳۷۳ | ۲۲۷.۰۰۰ | ۲۲۶.۴۰۸ | | |
| ۱۰ | ۹.۸۱۷۴ | ۳.۲۴۴ | ۱۰.۲۰۴ | -۱.۲۳۳ | | -۰.۵۰۹ | * | | | | | | ۲۸.۶۰۳ | -۰.۴۴۷ | -۰.۱۷۰ | ۲۲۷.۰۰۰ | ۲۲۶.۸۱۹ | |
| ۱۱ | ۹.۱۰۷ | ۲.۷۷۴ | ۱۱.۶۰۹ | ۲.۳۵۲ | ۱۱.۴۹۵ | ۲.۲۸۱۴ | +۰.۱۰۲ | ۰.۰۶۰ | | ۱.۵۰۰ | -۰.۸۰۵ | ۲۹.۳۷۶ | ۳.۰۰۶ | -۱۶۳.۵۹۱ | ۲۲۷.۰۰۰ | ۲۲۶.۴۰۴ | | |

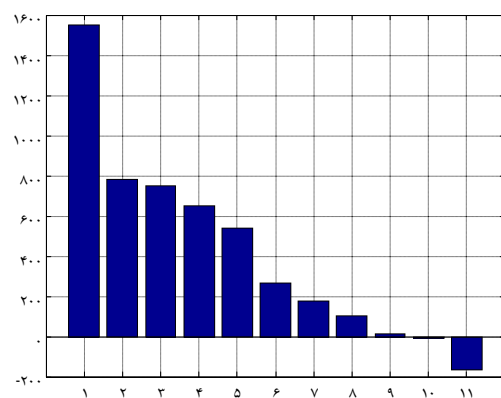
به صورت بارهای منفی^{۲)} نیز در روش پیشنهادی امکان پذیر است.

در حالت هشتم برای آزمون صحت عملکرد برنامه و اعتبارسنجی نتایج، متغیرهای بیشتری در نظر گرفته شده و تا سه تولیدکننده همراه با چهار مصرفکننده، دیسپچ مجدد شده که بار دیگر هزینه بروطوف کردن تراکم کاهش بیشتری یافته و به مقدار $104/863$ دلار رسیده است. البته باید توجه داشت که این افزایش تعداد شرکتکنندگان در دیسپچ مجدد، از نظر شرایط بازار برق، به دلیل افزایش نقض قراردادها و انحراف بیشتر از برنامه تعیین شده بازار، ممکن است چندان مطلوب نباشد و معمولاً سعی می‌شود با کمترین تغییر در برنامه بازار، مشکل تراکم انتقال بر طرف شود و در واقع روش تحلیل حساسیت نیز با همین هدف به کار می‌رود.

در حالت نهم که نسبت به حالت هفتم، یک منبع توان راکتیو در شین شماره ۱۴ اضافه شده، هزینه حاصل با هم کاهش یافته و به مقداری ناچیز (برابر $14/733$ دلار) رسیده است.

در حالت دهم که دیسپچ توان ژنراتورها و بارها برای هر دو نوع توان اکتیو و راکتیو صورت گرفته هزینه حاصل حذف شده و اندکی هم منفی شده است ($6/170$ -دلار).

سرانجام در حالت یازدهم که دیسپچ توان راکتیو نیز به حالت هشتم (متغیرهای بیشتر) اضافه شده، کمترین هزینه را در تمامی حالتها می‌بینیم که مقدار آن به $991/163$ -دلار رسیده است، یعنی ISO برای کاهش تراکم نه تنها هزینه‌ای متحمل نشده بلکه اندکی سود نیز داشته است؛ زیرا هزینه پرداختی توسط بارهای دارای افزایش مصرف، بیشتر از هزینه دریافتی توسط سایر شرکتکنندگان منتخب بوده است. بنابراین در حالتها خیر هزینه کمتری در ساعت مورد نظر



شکل ۴ مقایسه هزینه دیسپچ مجدد (بر حسب دلار) در حالت‌های مختلف شبیه‌سازی بخش (الف) در شبکه نمونه

در حالت هفتم، دیسپچ مجدد بارها توأم با ژنراتورها برای توان حقیقی انجام شده که کاهش هزینه بیشتری را (رسیدن به مقدار $175/631$ دلار) مشاهده می‌کنیم. همان‌طور که دیده می‌شود دیسپچ مجدد بارها توأم با ژنراتورها مناسب‌ترین حالت از دید مدیر شبکه در جهت کاهش تبعات تحمیل هزینه حاصل از مدیریت تراکم می‌باشد که البته این موضوع بستگی به نوع قراردادهای شرکتکنندگان داشته و در صورت وجود قراردادهایی منطقی و مناسب، این هزینه می‌تواند به شدت کاهش یافته یا به صفر برسد و حتی اندکی منفی نیز بشود. لذا کاربرد روش دیسپچ مجدد بار نسبت به دیسپچ مجدد ژنراتورها از نظر کاهش هزینه مدیریت تراکم مناسب‌تر است و در عمل بهتر است همراه با دیسپچ مجدد ژنراتورها صورت گیرد. هم‌چنین امکان ملاحظه دیسپچ مجدد منابع تولید پراکنده^{۱)} (DG) برای کاهش تراکم شبکه انتقال در بازارهای رقابتی (به شکل ساده و با مدلی

(۳)، انجام شده است (یعنی برای سهولت تحلیل، فرض شده که در هر یک از پنج روز عادی (غیرتعطیل) هفته، روزی یک ساعت تراکم در خط انتقال مربوط در زمان اوج بار پدید آید).

ب- هزینه پرداختی توسط ISO به تولیدکنندگان در دو حالت افزایش یا کاهش تولید، با هر یک از دو سازوکار مختلف PAB و UPR در نظر گرفته و مدلسازی شده است.

پ- هزینه پرداختی توسط ISO به مصرفکنندگان در حالت کاهش بار، αP و هزینه دریافتی توسط ISO از مصرفکنندگان در حالت افزایش بار، $P\beta$ پیشنهاد شده که P قیمت ساعتی برق (قیمت تسویه بازار یا MCP) بوده و مقدار نهایی و بهینه ضرایب α و β توسط برنامه بهینهسازی، متناسب با ضرایب توزیع تراکم شینهای مربوط به دست می آید. محدوده تغییر این ضرایب تعديل چنین فرض شده است:

$$0.3 \leq \beta \leq 0.7 \quad \text{and} \quad 0.1 \leq \alpha \leq 1/2 \quad (24)$$

که مقادیر پیشفرض (بدون تعديل) این ضرایب عبارت است از: $\alpha = 1$ و $\beta = 0.5$ لازم است ذکر شود که در بازارهای برق امروزی، معمولاً این هزینه‌ها شناور نیست و فرض بالا فقط به عنوان فکری منطقی در زمینه مدیریت تراکم، مطرح می‌شود.

خلاصه نتایج شبیه‌سازی بخش (ب)، شامل میزان تغییر توان (دیسپچ مجدد) و هزینه‌های پرداختی به شرکتکنندگان یا دریافتی از آنها توسط ISO در هریک از ساعتها مفروض به صورت کلی و نیز بر حسب واحد توان ($Per MW$) در جدول های (۵) و (۶) تعیین شده است. هم‌چنین مجموع هزینه‌های پرداختی یا دریافتی نیز در کل بازه زمانی هفتگی مورد تحلیل مشخص شده است.

به شرکتکنندگان بازار تحمیل شده که این هزینه می‌تواند در برخی شرایط قابل حذف نیز باشد؛ البته تحلیل کاملتر روش پیشنهادی باید در بازه‌هایی زمانی و در چند ساعت مختلف صورت گیرد. نمونه نتایج کاملتر در قسمت دوم شبیه‌سازی (بخش (ب)), ارائه شده است.

۲-۳ بخش (ب)

برای تکمیل نتایج بخش قبلی، در این بخش کاربرد روش پیشنهادی مدیریت تراکم مبتنی بر دیسپچ مجدد توأم ژنراتورها و بارهای وقفه‌پذیر (برای توان حقیقی) در بازه زمانی هفتگی، با شبیه‌سازی برخی حالتهای مختلف تراکم در شبکه مورد مطالعه و بررسی نحوه تخصیص هزینه تراکم^۱ توسط ISO در هر دو بازار PAB و UPR تحلیل شده است. با توجه به تأثیر کمتر توان راکتیو - که در بخش (الف) نیز دیدیم - در این قسمت فقط دیسپچ مجدد توان حقیقی ژنراتورها و بارها به صورت توأم در نظر گرفته می‌شود.

در این بخش حالتهای مختلفی برای سطوح بار و وضعیت تراکم انتقال و قیمت ساعتی برق در ساعتها مختلف وقوع تراکم از بازه زمانی هفتگی در شبکه نمونه ۳۹ شینه نیوانگلند (شکل ۱)، برطبق جدول (۳) در نظر گرفته شده و بر اساس روش تحلیل حساسیت در هر حالت، دو تولیدکننده و دو مصرفکننده به عنوان شرکتکنندگان نامزد انتخاب شده‌اند (جدول ۳). ضرایب توزیع تراکم AC به دست آمده برای خطوط متراکم مفروض نسبت به شینهای مربوط در جدول (۴) ارائه شده است.

فرضیهای ویژه در شبیه‌سازی بخش (ب) عبارتند از:

الف- دیسپچ مجدد ژنراتورها و بارها با فرض وقوع تراکم در پنج ساعت از هفته (از ۱۶۸ ساعت) در شبکه مورد مطالعه، برطبق حالتهای مشخص شده در جدول

1. Congestion Cost Allocation

جدول ۳ حالت‌های مورد مطالعه در بخش (ب) در شبکه ۳۹ شینه نیو انگلند

| مطالعه موردنی (Case Study) | سطح بار شبکه (بر حسب درصد) | شماره خط متراکم | میزان اختلاف بار خط متراکم (MVA) | قیمت ساعتی برق (\$/MWh) | شینهای تولیدی برگردانده | شینهای مصرفی (بار) برگردانده |
|-------------------------------|-------------------------------|--------------------|-------------------------------------|----------------------------|-------------------------------|---------------------------------|
| ۱ | ۱۰۰% | ۸ | ۱۲ | ۵۰ | ۳۸ | ۱۴.۳۵ |
| ۲ | ۱۰۵% | ۵ | ۴ | ۵۵ | ۳۸ | ۱۴.۳۵ |
| ۳ | ۱۱۰% | ۲۳ | ۵ | ۶۰ | ۶.۷ | ۲۱.۲۳ |
| ۴ | ۹۵% | ۲۸ | ۲۰ | ۴۵ | ۶.۷ | ۲۱.۲۳ |
| ۵ | ۹۰% | ۳ | ۴ | ۴۰ | ۳.۸ | ۱۴.۳۵ |

جدول ۴ ضرایب توزیع تراکم (ضرایب حساسیت) AC در شبیه‌سازی بخش (ب)

| خط ۱ شین | ۳ | ۵ | ۸ |
|----------|---------|---------|---------|
| ۳ | -۰.۱۰۴۲ | -۰.۲۲۳۷ | -۰.۰۹۹۱ |
| ۸ | ۰.۴۰۰۶ | ۰.۲۰۵۳ | ۰.۰۷۳۹ |
| ۱۴ | -۰.۱۴۸۸ | -۰.۳۴۷۰ | ۰.۳۱۷۷ |
| ۳۵ | -۰.۱۱۶۱ | -۰.۰۱۸۷ | -۰.۱۴۶۵ |
| خط ۱ شین | ۲۳ | ۲۸ | |
| ۶ | -۰.۵۵۴۷ | | ۰.۳۶۱۶ |
| ۷ | -۰.۴۳۵۱ | | -۰.۵۱۶۶ |
| ۲۱ | -۰.۷۳۷۶ | | ۰.۱۸۴۹ |
| ۲۳ | -۰.۴۳۷۴ | | -۰.۵۱۹۳ |

جدول ۵ خلاصه نتایج شبیه‌سازی بخش (ب) در شبکه ۳۹ شینه نیو انگلند

| مطالعه موردنی | شیوه برداشت | $\Delta(P_g)$ Bus # 3 (MW) | $\Delta(P_g)$ Bus # 6 (MW) | $\Delta(P_g)$ Bus # 7 (MW) | $\Delta(P_g)$ Bus # 8 (MW) | $\Delta(P_d)$ Bus # 14 (MW) | $\Delta(P_d)$ Bus # 21 (MW) | $\Delta(P_d)$ Bus # 23 (MW) | $\Delta(P_d)$ Bus # 35 (MW) | ضریب ساعتی دانه نماینده درجه حریقی | ضریب نماینده بار شین ۱۴ | ضریب نماینده بار شین ۲۱ | ضریب نماینده بار شین ۳۱ | ضریب نماینده بار شین ۳۵ | ضریب نماینده بار شین ۴۱ | ضریب ساعتی دانه نماینده درجه حریقی | |
|---------------|-------------|-------------------------------|-------------------------------|-------------------------------|-------------------------------|--------------------------------|--------------------------------|--------------------------------|--------------------------------|--|-------------------------------|-------------------------------|-------------------------------|-------------------------------|-------------------------------|--|----------|
| ۱ | PAB | -۰.۶۱۵ | - | - | ۱۰.۵۵۷ | -۲۳.۵۹۴ | - | - | ۳۰.۰۰۰ | ۷۸۲.۰۵۳ | $\alpha = 1/8$ | - | - | - | $\beta = 1/31$ | ۶۴۹.۹۶۰ | |
| | UPR | -۰.۶۱۵ | - | - | ۱۰.۵۵۷ | -۲۳.۵۹۴ | - | - | ۳۰.۰۰۰ | ۹۶۱.۱۶۶ | $\alpha = 1/8$ | - | - | - | $\beta = 1/31$ | ۸۷۹.۰۷۷ | |
| ۲ | PAB | ۱۱.۸۲۱ | - | - | -۰.۵۲۰ | -۲۲.۷۳۴ | - | - | ۲۸.۱۰۵ | ۱۰۴۶.۸۹۵ | $\alpha = 1/8$ | - | - | - | $\beta = 1/31$ | ۸۸۳.۸۲۶ | |
| | UPR | ۱۱.۸۲۱ | - | - | -۰.۵۲۰ | -۲۲.۷۳۴ | - | - | ۲۸.۱۰۵ | ۱۱۴۰.۲۶۹ | $\alpha = 1/8$ | - | - | - | $\beta = 1/31$ | ۹۴۷.۲۱۰ | |
| ۳ | PAB | - | -۳۷.۲۴۱ | ۴۱.۴۹۱ | - | - | ۴.۱۶۳ | * | - | ۲۱۷۷.۷۷۷ | - | $\beta = 1/4$ | $\alpha = 1$ | - | - | - | ۲۱۷۷.۸۲۰ |
| | UPR | - | -۳۷.۷۹۹ | ۵.۱۱۳ | - | - | ۴.۲۲۵ | -۳۷.۰۰۰ | - | ۳۱۸۱.۸۱۴ | - | $\beta = 1/4$ | $\alpha = 1/8$ | - | - | - | ۲۶۸۷.۱۱۳ |
| ۴ | PAB | - | -۲۴.۷۱۳ | ۱۱.۹۸۳ | - | - | ۲.۷۸۲ | -۱۵.۵۵۰ | - | ۱۵۷۱.۶۶۸ | - | $\beta = 1/3.۰۳$ | $\alpha = 1/8$ | - | - | - | ۱۴۵۶.۱۴۷ |
| | UPR | - | -۲۴.۶۸۱ | ۰.۴۹۷ | - | - | ۲.۷۵۹ | -۲۷.۰۰۰ | - | ۱۷۷۴.۵۲۰ | - | $\beta = 1/3.۰۳$ | $\alpha = 1/8$ | - | - | - | ۱۰۵۵.۹۲۱ |
| ۵ | PAB | ۱.۰۹۱ | - | - | -۱۰.۹۵۷ | ۲۳.۵۷۰ | - | - | -۳۰.۰۰۰ | ۹۳۶.۰۶۲ | $\beta = 1/4$ | - | - | $\alpha = 1/8$ | - | ۵۰۷.۵۰۴ | |
| | UPR | ۱.۰۹۱ | - | - | -۱۰.۹۵۷ | ۲۳.۵۷۰ | - | - | -۳۰.۰۰۰ | ۸۸۶.۴۴۷ | $\beta = 1/4$ | - | - | $\alpha = 1/8$ | - | ۴۵۷.۸۸۹ | |

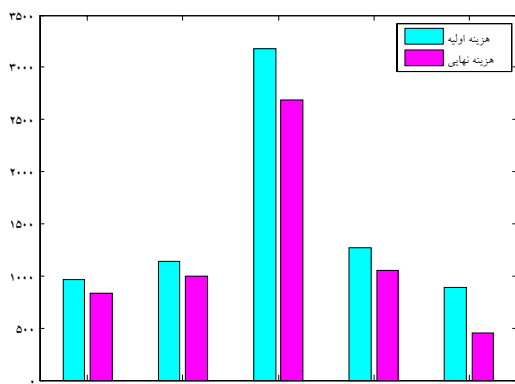
جدول ۶ هزینه‌های پرداختی و دریافتی توسط ISO در نتایج بخش (ب) *

| مقادیر موردی | شیوه پرداخت | کل هزینه‌های تدبیری بر Redispatch \$ | Bus # 3 (\$) | Bus # 6 (\$) | Bus # 7 (\$) | Bus # 8 (\$) | Bus # 14 (\$) | Bus # 21 (\$) | Bus # 23 (\$) | Bus # 35 (\$) | Bus # 3 (\$/MWh) | Bus # 6 (\$/MWh) | Bus # 7 (\$/MWh) | Bus # 8 (\$/MWh) | Bus # 14 (\$/MWh) | Bus # 21 (\$/MWh) | Bus # 23 (\$/MWh) | Bus # 35 (\$/MWh) | | | | | | | | |
|--|-------------|--------------------------------------|--------------|--------------|--------------|--------------|---------------|---------------|---------------|---------------|--|------------------|------------------|------------------|-------------------|-------------------|-------------------|-------------------|--|--|--|--|--|--|--|--|
| ۱ | PAB | ۶۴۹.۹۶۰ | ۱۴۸۹۸ | - | - | ۳۳۷.۴۵۲ | ۹۴۳.۷۶۰ | - | - | -۶۴۶.۱۵۴ | ۲۲.۲۲۴ | - | - | ۳۱.۹۶۵ | ۴۰ | - | - | -۲۱.۵۳۸ | | | | | | | | |
| | UPR | ۸۲۹.۰۷۷ | ۳۶۱۳ | - | - | ۵۲۷.۸۵۳ | ۹۴۳.۷۶۰ | - | - | -۶۴۶.۱۵۴ | ۵۸۸۰ | - | - | ۵۰ | ۴۰ | - | - | -۲۱.۵۳۸ | | | | | | | | |
| ۲ | PAB | ۸۸۳.۸۳۶ | ۵۲۱.۲۶۰ | - | - | ۸.۱۵۱ | ۱۰۰.۰۴۹ | - | - | -۶۶۵.۸۶۸ | ۴۵.۷۸۸ | - | - | ۱۵.۵۶۴ | ۴۴ | - | - | -۲۳.۶۹۲ | | | | | | | | |
| | UPR | ۹۹۷.۲۱۰ | ۸۵۰.۱۵۳ | - | - | ۱۲.۶۳۲ | ۱۰۰.۰۴۹ | - | - | -۶۶۵.۸۶۸ | ۵۵ | - | - | ۲۴.۲۷۶ | ۴۴ | - | - | -۲۳.۶۹۲ | | | | | | | | |
| ۳ | PAB | ۲۱۲۷.۸۲۰ | - | ۷۲۶.۵۹۳ | ۱۵۷۶.۰۵۸ | - | - | -۱۷۴.۸۳۰ | . | - | - | ۱۹.۵۱۱ | ۳۷.۹۸۶ | - | - | -۴۲ | * | - | | | | | | | | |
| | UPR | ۲۶۸۷.۱۱۳ | - | ۷۸۱.۷۸۰ | ۳۰.۶۷۸۵ | - | - | -۱۷۷.۴۵۲ | ۱۷۷۶.۰۰۰ | - | - | ۲۰.۶۸۲ | ۶۰ | - | - | -۴۲ | ۴۸ | - | | | | | | | | |
| ۴ | PAB | ۱۳۵۶.۱۴۷ | - | ۵۲۱.۴۲۶ | ۴۱.۶۳۰ | - | - | -۳۷.۷۲۰ | ۵۵۹.۸۱۱ | - | - | ۲۱.۰۹۹ | ۳۴.۴۳۴ | - | - | -۱۳.۶۵۵ | ۳۶ | - | | | | | | | | |
| | UPR | ۱۰۵۵.۹۲۱ | - | ۹۹.۲۰۷ | ۲۲.۳۸۴ | - | - | -۳۷.۶۷۱ | ۹۷۲.۰۰۰ | - | - | ۲۰.۲ | ۴۵ | - | - | -۱۳.۶۵۵ | ۳۶ | - | | | | | | | | |
| ۵ | PAB | ۵۰۷.۵۰۴ | ۴۸.۳۸۶ | - | - | ۱۵۹.۰۷۱ | -۶۵۹.۹۵۳ | - | - | ۹۶۰.۰۰۰ | ۳۴.۳۴۷ | - | - | ۱۴.۵۱۷ | -۲۸ | - | - | ۳۲ | | | | | | | | |
| | UPR | ۴۵۷.۸۸۹ | ۴۳.۶۴۳ | - | - | ۱۱۴.۱۹۹ | -۶۵۹.۹۵۳ | - | - | ۹۶۰.۰۰۰ | ۴۰ | - | - | ۱۰.۴۲۲ | -۲۸ | - | - | ۳۲ | | | | | | | | |
| جمع هزینه‌های پرداختی در یک هفته مفروض | | PAB | ۶۰۴.۵۴۲ | ۱۲۸.۰۱۹ | ۱۹۸۸.۶۸۸ | ۵۰۴.۶۷۸ | ۱۲۸۴.۱۰۱ | -۲۱۲.۵۵ | ۵۵۹.۸۱۱ | -۳۵۲.۰۲۲ | * هزینه‌های پرداختی توسط ISO، با علامت مثبت و هزینه‌های دریافتی توسط ISO با علاوه منفی مشخص شده است. | | | | | | | | | | | | | | | |

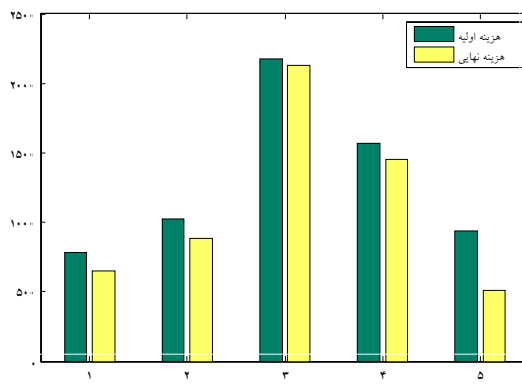
(معمولًاً به نسبت میزان توان آنها) باید تسهیم و دریافت شود که نتایج مربوط به این قسمت نیز در جدول‌های (۷) و (۸) ارائه شده است. همان‌طور که در جدول‌های (۵) و (۶) و شکل‌های (۵) و (۶) دیده می‌شود در بیشتر حالتها هزینه ساعتی دیسپچ UPR مجدد، در بازار برق نوع PAB کمتر از بازار نوع PAB بوده و هزینه کلی حاصل در بازه‌ای زمانی (که در اینجا هفت‌هفته فرض شده) مطابق جدول (۹) در سازوکار نسبت به UPR کمتر است.

1. Uplift Method

همان‌گونه که در جدول (۵) دیده می‌شود در حالت دیسپچ مجدد توأم بارها و ژنراتورها در هر دو بازار برق PAB و UPR هزینه کاهش تراکم در ساعت خاص و در نتیجه هزینه مربوط به دوره‌های زمانی (چند ساعت وقوع تراکم)، می‌تواند با استفاده از ضرایب تعديل هزینه برای بارها که در اینجا متناسب با ضرایب توزیع (حساسیت) تراکم، در نظر گرفته شده، تا حدودی کاهش مابقی برایند این هزینه‌ها در طی دوره زمانی مشخصی توسط ISO از مصرف کنندگان یا تولیدکنندگان یا هر دو



شکل ۶ هزینه‌های اولیه و نهایی (تحدیل شده) در حالت قیمت‌گذاری یکنواخت (UPR) در شبیه‌سازی بخش (ب)



شکل ۵ هزینه‌های اولیه و نهایی (تحدیل شده) در حالت پرداخت بر طبق پیشنهاد (PAB) در شبیه‌سازی بخش (ب)

جدول ۷ سهم (درصد) هریک از شرکت‌کنندگان بازار در تأمین هزینه کلی مدیریت تراکم در شبکه مورد مطالعه به روش تسهیم به نسبت توان توسط فقط مصرف‌کنندگان (در شبیه‌سازی بخش (ب))

| شماره شعبن | ۱ | ۲ | ۱۳ | ۱۴ | ۱۷ | ۱۸ | ۲۱ | ۲۳ | ۲۴ | ۲۵ | ۲۶ | ۲۷ | ۲۸ | ۲۹ | ۳۰ | ۳۲ | ۳۵ | ۳۶ | ۳۸ |
|------------|-------|----|------|------|------|-------|------|------|----|------|------|------|----|------|-------|-------|------|------|------|
| درصد سهم | هزینه | %۲ | %۶.۳ | %۹.۷ | %۴.۶ | %۱۰.۲ | ۵.۳% | %۴.۸ | %۶ | %۴.۴ | %۲.۷ | %۵.۵ | %۴ | %۵.۵ | %۱۳.۲ | %۰.۱۷ | %۶.۲ | %۶.۴ | %۲.۱ |

جدول ۸ سهم (درصد) هریک از شرکت‌کنندگان بازار در تأمین هزینه کلی مدیریت تراکم در شبکه مورد مطالعه به روش تسهیم به نسبت توان تواناً توسط مصرف‌کنندگان و تولیدکنندگان (در شبیه‌سازی بخش (ب))

| شماره شعبن | ۱ | ۲ | ۱۳ | ۱۴ | ۱۷ | ۱۸ | ۲۱ | ۲۳ | ۲۴ | ۲۵ | ۲۶ | ۲۷ | ۲۸ | ۲۹ | ۳۰ | ۳۲ | ۳۵ | ۳۶ | ۳۸ | | | | | | | |
|------------|----|------|------|------|------|------|------|----|------|------|------|----|------|------|------|------|------|------|------|------|------|------|------|------|------|------|
| مبلغ هزینه | %۱ | %۳.۲ | %۴.۸ | %۲.۳ | %۵.۱ | %۲.۶ | %۲.۴ | %۳ | %۲.۲ | %۱.۴ | %۲.۸ | %۲ | %۲.۸ | %۶.۶ | %۰.۹ | %۳.۱ | %۳.۲ | %۱.۵ | %۵.۷ | %۶.۳ | %۴.۹ | %۶.۲ | %۵.۴ | %۵.۳ | %۸.۱ | %۲.۴ |

جدول ۹ هزینه کل (هفتگی) مدیریت تراکم در شبیه‌سازی بخش (ب)

| | هزینه بدون تهدیل (\$/Week) | هزینه تهدیل یافته (\$/Week) |
|-----------------------------|----------------------------|-----------------------------|
| PAB | ۶۴۹۴.۴۵۰ | ۵۶۲۵.۲۶۷ |
| UPR | ۷۴۴۴.۲۱۶ | ۶۰۲۷.۲۰۵ |
| اختلاف هزینه در دو حالت فوق | ۹۴۹.۷۶۶ | ۴۰۱.۹۳۸ |

| | |
|--|-----------------|
| توان راکتیو عبوری از خطوط انتقال قبل از دیسپچ | Q_{ij} |
| مجدد | |
| میزان تغییر توان حقيقی ژنراتورها پس از دیسپچ | ΔP_g |
| مجدد | |
| میزان تغییر توان راکتیو ژنراتورها پس از دیسپچ | ΔQ_g |
| مجدد | |
| میزان تغییر توان راکتیو منابع راکتیو پس از دیسپچ | ΔQ_c |
| مجدد | |
| میزان تغییر توان حقيقی بارها پس از دیسپچ مجدد | ΔP_d |
| میزان تغییر توان راکتیو بارها پس از دیسپچ مجدد | ΔQ_d |
| حداکثر ظرفیت توان انتقالی خطوط | S_{ij}^{\max} |
| میزان تغییر ولتاژ شینهای شبکه پس از دیسپچ | ΔV_i |
| مجدد | |
| کل تلفات توان حقيقی در خطوط انتقال | P_L |
| کل تلفات توان راکتیو در خطوط انتقال | Q_L |

۶- منابع

- [1] R.D. Christie, et. al., "Transmission management in the deregulated environment", (Invited paper), Proceedings of the IEEE 88, February (2), 2000, 170-195.
- [2] Congestion management requirements methods and performance indices, CERTS, June 2002, ORNL/TM-2002/119.
- [3] T. Kristiansen, "Cross-border transmission capacity allocation mechanisms in South East Europe", Energy Policy, 35, (2007) 4611-4622.
- [4] A.G. Bakirtzis, P.N. Biskas, "Decentralized DC load flow and applications to

۴- نتیجه‌گیری

در این مقاله، روشی برای مدیریت تراکم انتقال، مبتنی بر برنامه‌ریزی (دیسپچ) مجدد تولید یا مصرف توانهای حقيقی و راکتیو در شینهای حساس شبکه، بر اساس تعیین ضرایب توزیع تراکم حقيقی و راکتیو (ضرایب حساسیت AC) و دسته‌بندی شینهای شبکه انتقال بر پایه این ضرایب و سپس دیسپچ مجدد تولیدکننده‌ها توأم با منابع راکتیو و مصرف کننده‌ها ارائه شده است. روش پیشنهادی بر روی شبکه نمونه ۳۹ شینه نیونگلند آزمایش و نحوه تخصیص هزینه کاهش تراکم در دو نوع بازار UPR و PAB بررسی شده است. نتایج عددی کارامدی روش پیشنهادی را نشان می‌دهد. نوآوری اصلی این مقاله عبارت است از: کاربرد دیسپچ مجدد مصرف کننده‌های بزرگ قابل برنامه‌ریزی (بارهای وقفه‌پذیر) به صورت توأم با تولیدکننده‌ها (ژنراتورها) و برای هر دو نوع توان حقيقی و راکتیو، تحلیل هزینه کاهش تراکم و بررسی نحوه تخصیص آن، در نظر گرفتن ضرایب تعديل هزینه برای دیسپچ مجدد بارها متناسب با ضرایب توزیع تراکم و مقایسه دو نوع بازارهای برق UPR و PAB در تحلیل هزینه حاصل از مدیریت تراکم بر طبق روش مورد مطالعه.

۵- فهرست نمادها

| | |
|--|------------------|
| تعداد کل خطوط انتقال در شبکه قدرت | N_l |
| تعداد کل شینهای شبکه | N_b |
| تعداد ژنراتورهای انتخاب شده | N_g |
| تعداد منابع توان راکتیو (غیرژنراتوری) در نظر گرفته شده | N_c |
| تعداد بارهای برگزیده برای دیسپچ مجدد | N_d |
| توان حقيقی عبوری از خطوط انتقال قبل از دیسپچ | P_{ij} مجدد |

- [10] X. Ma, et. al., "Evolution towards standard market design", IEEE Trans. Power Syst. 18 (May (2)) (2003) 460-469.
- [11] M. Liu, G. Gross, "Framework for the design and analysis of congestion revenue rights", IEEE Trans. Power Syst. 18 (Feb (1)) (2004) 243-251.
- [12] L.A. Tuan, et. al., "Transmission congestion management in bilateral markets: an interruptible load auction solution", Electric Power Systems Research 74 (2005) 379-389.
- [13] P.N. Biskas, et. al., "Analysis of a monthly auction for financial transmission rights and flow-gate rights", Electric Power Systems Research, 77 (2007) 594-603.
- [14] Y. Tang, H. Xu, Q. Wan, "Research on the Application of Financial Transmission Right in Congestion Management", DRPT2008, 6-9 April, 2008, Nanjing China.
- [15] L. Chen, et. al., "Component of nodal prices for electric power systems", IEEE Trans. Power Syst. 17 (February (1)) (2002) 41-49.
- [16] [16] D. Gan, D.V. Bourcier, "Locational market power screening and congestion management: experience and suggestions", IEEE Trans. Power Syst. 17 (February (1)) (2002) 180-185.
- transmission management", IEE Proc. Generation Transm. Distribution, 149, 5, 2002, 600-606.
- [5] A. Kumar, S.C. Srivastava, S.N. Singh, "A zonal congestion management approach using AC transmission congestion distribution factors", Electric Power Systems Research 72 (2004) 85-93.
- [6] A. Kumar, S.C. Srivastava, S.N. Singh, "A zonal congestion management approach using real and reactive power rescheduling", IEEE Trans. Power Syst. 18 (February (1)) (2004) 554-562.
- [7] S. Deladreue, et. al., "Using two multivariable methods for line congestion study in transmission systems under uncertainty", IEEE Trans. Power Syst. 18 (Feb (1)) (2003) 353-358.
- [8] A. Galetovic, R. Palma-Behnke, "Can generalized distribution factors lead to objective transmission toll allocations? Some lessons from the recent Chilean experience", Energy Economics, 2006.
- [9] A.J. Conejo, et. al., "Economic inefficiencies and cross-subsidies in an auction-based electricity pool", IEEE Trans. Power Syst., 18, (February (1), 2003, 221-228.

- Approach Based on Responsibility”, IEEE Trans. Power Syst. 15 (November (4)) (2000) 1401-1409.
- [24] J.O. Freitas Silva, P. Cuervo, “Allocating Congestion Management Costs through Use-Based Principle of Equivalent Bilateral Exchanges”, 978-1-4244-1744-5/08/\$25.00 ©2008 IEEE.
- [25] A.G. Bakirtzis, P.N. Biskas, “A decentralized solution to the DC-OPF of the interconnected power systems”, IEEE Trans. Power Syst. 18 (August (2)) (2003) 1007-1013.
- [26] T. Wu, et. al., “Pricing ancillary and energy services in integrated market systems by an optimal power flow”, IEEE Trans. Power Syst. 19 (February (1)) (2004) 339-347.
- [27] J.A. Aguado, et. al., “Coordinated spot market for congestion management of inter-regional electricity markets”, IEEE Trans. Power Syst. 19 (Feb (1)) (2004) 180-187.
- [28] C.A. Canizares, et. al., “Transmission congestion management and pricing in simple auction electricity markets”, Int J. Emerging Electric Power Syst. 1 (1) (2004) 1-28.
- [29] B.K. Talukdar, et. al., “A computationally simple method for cost-efficient [17] S. Hao, D. Shirmohammadi, “Congestion management with Ex Ante pricing for decentralized markets”, IEEE Trans. Power Syst. 17 (November (4)) (2002) 1030-1036.
- [18] F. Milano, C.A. Canizares, M. Invemizzi, “Multi-objective optimization for pricing system security in electricity markets”, IEEE Trans. Power Syst. 18 (May (2)) (2003) 596-604.
- [19] G.C. Stamtsis, I. Erlich, “Congestion analysis and participants' behavior in a pool market”, IEE Proc. Generation Transmission Distribution 151 (January (1)) (2004) 127-131.
- [20] A. Sedaghati, “Cost of transmission system usage based on an economic measure”, IEEE Transactions on Power Systems, 2006.
- [21] H.Y. Yamin, S.M. Shahidepour, “Congestion management coordination in the deregulated market”, Electric Power Systems Research 65 (2003) 119-127.
- [22] M. I. Alomoush, “Performance indices to measure and compare system utilization and congestion severity of different dispatch scenarios”, Electric Power Systems Research 74(2005) 223-230.
- [23] N.S. Rau, “Transmission Loss and Congestion Cost Allocation—An

- [32] N. Lu, T. Nguyen, "Grid Friendly Appliances – Load-side Solution for Congestion Management", 0-7803-9193-4, IEEE (2006).
- [33] M.A. Pai, *Energy function analysis for power system stability*, Kluwer Academic Publishers, Boston, 1989.
- [۳۴] محمدموسى تبریزیان، حسین سیفی و محمدکاظم شیخالاسلامی؛ "مدیریت استاتیکی و مبتنی بر تحلیل حساسیت تراکم انتقال در بازارهای رقابتی برق"، نشریه علمی-پژوهشی مهندسی برق و مهندسی کامپیوتر ایران (جهاد دانشگاهی)، سال ۷، شماره ۱، بهار ۱۳۸۸.
- generation rescheduling and load shedding for congestion management", Electrical Power and Energy Systems 27 (2005) 379-388.
- [30] R. El-Shatshat, K. Bhattacharya, "Locational balance service auction market for transmission congestion management", IEE Proceedings online no. 20050438, (2006).
- [31] M. Bjrndal, K. Jornsten, "Benefits from coordinating congestion management-The Nordic power market", Energy Policy, 2006.